

28. 原子

28.1 氢原子

28.2 电子的自旋与自旋轨道耦合

28.3 微观粒子的不可分辨性和泡利不相容原理

28.4 各种原子核外电子的组态

28.5 X射线

28.6 激光

28.1 氢原子

用薛定谔方程求解氢原子中电子的能级和本征波函数，是量子力学创立初期最令人信服的成就。

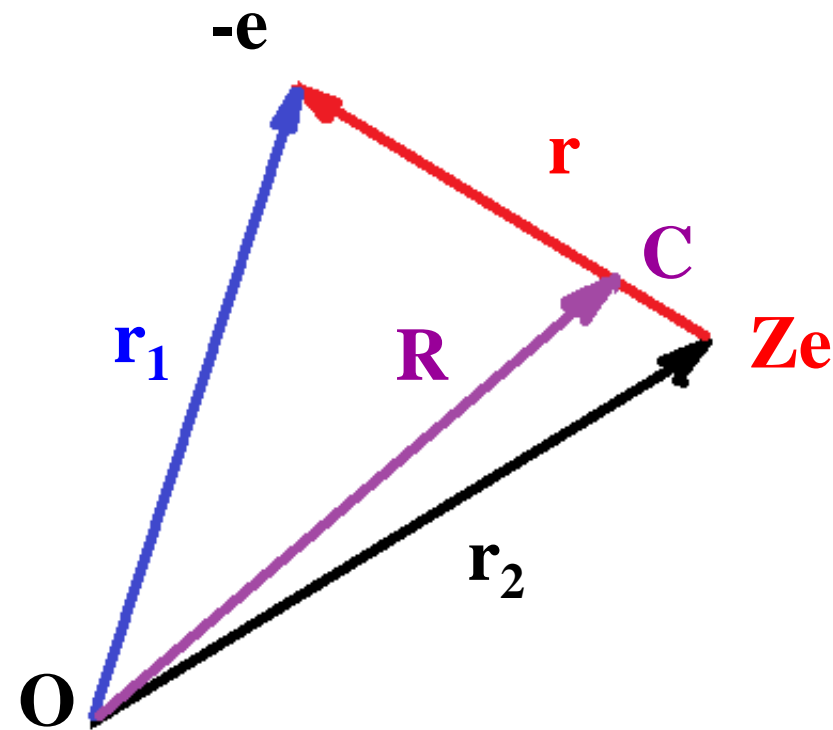
由于求解过程比较复杂，下面只介绍求解的**思路**和**步骤**，列出**结果**并讨论**物理意义**。

在氢原子问题中，要考虑**电子**与**原子核**这两个粒子在库仑相互作用下的运动，这是一个**两体问题**。

类氢离子

He^+

$Z=2$



关于质心坐标和相对坐标的定态薛定谔方程

在有心力场问题中，两体相互作用只依赖于它们之间的相互距离，其相互作用势用 $U(|\vec{r}_1 - \vec{r}_2|)$ 表示。这个两粒子体系的定态薛定谔方程可表示为

$$\left[-\frac{\hbar^2}{2m_1} \nabla_1^2 - \frac{\hbar^2}{2m_2} \nabla_2^2 + U(\vec{r}_1 - \vec{r}_2) \right] \Psi(\vec{r}_1, \vec{r}_2) = E_t \Psi(\vec{r}_1, \vec{r}_2) \quad (1)$$

式中 m_1 和 m_2 分别为两粒子的质量， E_t 为体系的总能量。

引进质心位矢 \vec{R} 和相对位矢 \vec{r} ，有

$$\vec{R} = \frac{m_1 \vec{r}_1 + m_2 \vec{r}_2}{m_1 + m_2} \qquad \vec{r} = \vec{r}_1 - \vec{r}_2$$

可以证明，把对两粒子坐标的微商，变换成对质心坐标和相对坐标的微商的变换关系式是：

$$\frac{1}{m_1} \nabla_1^2 + \frac{1}{m_2} \nabla_2^2 = \frac{1}{m} \nabla_R^2 + \frac{1}{\mu} \nabla_r^2$$

$$m = m_1 + m_2 \qquad \mu = \frac{m_1 m_2}{m_1 + m_2}$$

方程(1)化为

$$\left[-\frac{\hbar^2}{2m} \nabla_R^2 - \frac{\hbar^2}{2\mu} \nabla_r^2 + U(r) \right] \Psi = E_t \Psi \quad (2)$$

它可以用分离变量法求解。设

$$\Psi = \phi(\mathbf{R})\psi(\mathbf{r})$$

代入式(2)，可得两变量分离的方程：

$$-\frac{\hbar^2}{2m}\nabla_R^2\phi(\mathbf{R}) = E_c\phi(\mathbf{R}) \quad (3)$$

$$\left[-\frac{\hbar^2}{2\mu}\nabla_r^2 + U(\mathbf{r})\right]\psi(\mathbf{r}) = E\psi(\mathbf{r}) \quad (4)$$

$E = E_t - E_c$ 是两粒子相对运动的能量。

$$-\frac{\hbar^2}{2m}\nabla_R^2\phi(\mathbf{R})=E_c\phi(\mathbf{R}) \quad (3)$$

方程(3)所描写的是原子的质心运动，是自由粒子的波动方程， E_c 是原子的质心运动能量，这一部分与原子的内部结构无关。

在氢原子问题中，我们感兴趣的是原子的内部运动状态，即电子相对于原子核的运动状态。方程(4)

$$\left[-\frac{\hbar^2}{2\mu}\nabla_r^2+U(r)\right]\psi(r)=E\psi(r) \quad (4)$$

所描写的正是电子相对于原子核运动的波函数 ψ 所满足的方程，相对运动的能量 $E=E_t-E_c$ 就是电子能级。

方程(4)可以理解为是描写一个质量为 μ 的粒子在势能为 $U(r)$ 的有心力场中的运动。

在以质子的位置为原点的直角坐标系中，电子的能量本征方程为

$$\left[-\frac{\hbar^2}{2\mu} \left(\frac{\partial^2}{\partial x^2} + \frac{\partial^2}{\partial y^2} + \frac{\partial^2}{\partial z^2} \right) + U(r) \right] \Psi = E\Psi$$

写成球坐标系中的形式

$$\left(-\frac{\hbar^2}{2\mu r^2} \frac{\partial}{\partial r} r^2 \frac{\partial}{\partial r} - \frac{\mathbf{Z}e^2}{4\pi\epsilon_0 r} \right) \Psi + \frac{\hat{L}^2}{2\mu r^2} \Psi = E\Psi$$

$$\hat{L}^2 = -\hbar^2 \left(\frac{1}{\sin\theta} \frac{\partial}{\partial\theta} \sin\theta \frac{\partial}{\partial\theta} + \frac{1}{\sin^2\theta} \frac{\partial^2}{\partial\varphi^2} \right)$$

其中 \hat{L}^2 为轨道角动量平方算符。其本征值问题的解是已知的。

设 $\Psi = R(r)Y(\theta, \varphi)$

代入 $\left(-\frac{\hbar^2}{2\mu r^2} \frac{\partial}{\partial r} r^2 \frac{\partial}{\partial r} - \frac{\mathbf{Z}e^2}{4\pi\epsilon_0 r} \right) \Psi + \frac{\hat{L}^2}{2\mu r^2} \Psi = E\Psi$

$$\left(-\frac{\hbar^2}{2\mu r^2} \frac{\partial}{\partial r} r^2 \frac{\partial}{\partial r} - \frac{\mathbf{Z}e^2}{4\pi\epsilon_0 r} \right) RY + \frac{\hat{L}^2}{2\mu r^2} RY = ERY$$

$$Y \left(-\frac{\hbar^2}{2\mu r^2} \frac{d}{dr} r^2 \frac{d}{dr} - \frac{\mathbf{Z}e^2}{4\pi\epsilon_0 r} \right) R + \frac{R}{2\mu r^2} \hat{L}^2 Y = ERY$$

$$\frac{1}{R} \left(-\frac{\hbar^2}{2\mu r^2} \frac{d}{dr} r^2 \frac{d}{dr} - \frac{\mathbf{Z}e^2}{4\pi\epsilon_0 r} \right) R + \frac{1}{2\mu r^2} \hat{L}^2 Y = E$$

$$\frac{1}{R} \left(-\hbar^2 \frac{d}{dr} r^2 \frac{d}{dr} - \frac{\mu e^2 \mathbf{Z}}{2\pi\epsilon_0} \right) R + \frac{1}{Y} \hat{L}^2 Y = 2\mu r^2 E$$

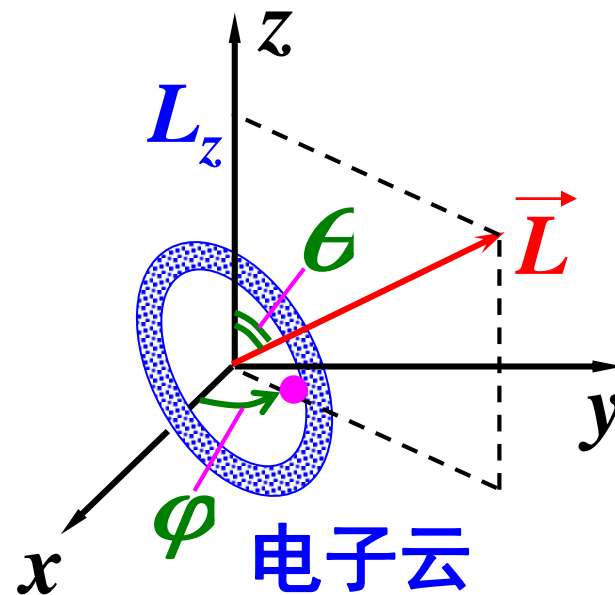
$$\frac{1}{R} \left[\hbar^2 \frac{d}{dr} r^2 \frac{d}{dr} + 2\mu r^2 \left(E + \frac{\mathbf{Z}e^2}{4\pi\epsilon_0 r} \right) \right] R = \frac{1}{Y} \hat{\mathbf{L}}^2 Y = \lambda$$

$$\hat{\mathbf{L}}^2 Y = \lambda Y$$

$$\left[\hbar^2 \frac{d}{dr} r^2 \frac{d}{dr} + 2\mu r^2 \left(E + \frac{\mathbf{Z}e^2}{4\pi\epsilon_0 r} \right) \right] R = \lambda R$$

1. 角动量算符

(1) 角动量平方算符
——代表角动量大小



$$\hat{L}^2 = -\hbar^2 \left(\frac{1}{\sin\theta} \frac{\partial}{\partial\theta} \sin\theta \frac{\partial}{\partial\theta} + \frac{1}{\sin^2\theta} \frac{\partial^2}{\partial\varphi^2} \right)$$

(2) 角动量在 z 轴投影 ——代表角动量取向

$$\hat{L}_z = -i\hbar \frac{\partial}{\partial\varphi}$$

$$\vec{L} = \vec{r} \times \vec{p} = \begin{vmatrix} \vec{i} & \vec{j} & \vec{k} \\ x & y & z \\ p_x & p_y & p_z \end{vmatrix}$$

$$\hat{L}_x = -i\hbar \left(y \frac{\partial}{\partial z} - z \frac{\partial}{\partial y} \right)$$

$$\hat{L}_y = -i\hbar \left(z \frac{\partial}{\partial x} - x \frac{\partial}{\partial z} \right)$$

$$\hat{L}_z = -i\hbar \left(x \frac{\partial}{\partial y} - y \frac{\partial}{\partial x} \right)$$

$$r = \sqrt{x^2 + y^2 + z^2}$$

$$x = r \sin \theta \cos \varphi$$

$$\theta = \arctan \frac{\sqrt{x^2 + y^2}}{z}$$

$$y = r \sin \theta \sin \varphi$$

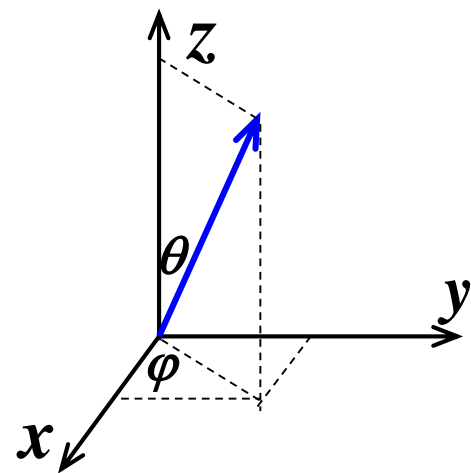
$$\varphi = \arctan \frac{y}{x}$$

$$z = r \cos \theta$$

设 $u = f(r, \theta, \varphi)$ 而 r 、 θ 、 φ 又都是 x 、 y 、 z 的函数

$$\frac{\partial u}{\partial x} = \frac{\partial u}{\partial r} \frac{\partial r}{\partial x} + \frac{\partial u}{\partial \theta} \frac{\partial \theta}{\partial x} + \frac{\partial u}{\partial \varphi} \frac{\partial \varphi}{\partial x}$$

$$\Rightarrow \frac{\partial}{\partial x} = \frac{\partial r}{\partial x} \frac{\partial}{\partial r} + \frac{\partial \theta}{\partial x} \frac{\partial}{\partial \theta} + \frac{\partial \varphi}{\partial x} \frac{\partial}{\partial \varphi}$$



$$\frac{\partial}{\partial x} = \sin \theta \cos \varphi \frac{\partial}{\partial r} + \frac{\cos \theta \cos \varphi}{r} \frac{\partial}{\partial \theta} - \frac{\sin \varphi}{r \sin \theta} \frac{\partial}{\partial \varphi}$$

$$\frac{\partial}{\partial y} = \sin \theta \sin \varphi \frac{\partial}{\partial r} + \frac{\cos \theta \sin \varphi}{r} \frac{\partial}{\partial \theta} + \frac{\cos \varphi}{r \sin \theta} \frac{\partial}{\partial \varphi}$$

$$\frac{\partial}{\partial z} = \cos \theta \frac{\partial}{\partial r} - \frac{\sin \theta}{r} \frac{\partial}{\partial \theta}$$

$$\hat{L}_x = -i\hbar \left(y \frac{\partial}{\partial z} - z \frac{\partial}{\partial y} \right) = i\hbar \left(\sin \varphi \frac{\partial}{\partial \theta} + \cot \theta \cos \varphi \frac{\partial}{\partial \varphi} \right)$$

$$\hat{L}_y = -i\hbar \left(z \frac{\partial}{\partial x} - x \frac{\partial}{\partial z} \right) = i\hbar \left(-\cos \varphi \frac{\partial}{\partial \theta} + \cot \theta \sin \varphi \frac{\partial}{\partial \varphi} \right)$$

$$\hat{L}_z = -i\hbar \left(x \frac{\partial}{\partial y} - y \frac{\partial}{\partial x} \right) = -i\hbar \frac{\partial}{\partial \varphi}$$

$$\hat{L}^2 = \hat{L}_x^2 + \hat{L}_y^2 + \hat{L}_z^2 = -\hbar^2 \left(\frac{1}{\sin \theta} \frac{\partial}{\partial \theta} \sin \theta \frac{\partial}{\partial \theta} + \frac{1}{\sin^2 \theta} \frac{\partial^2}{\partial \varphi^2} \right)$$

$Y_{lm}(\theta, \varphi)$ 是 \hat{L}^2 和 \hat{L}_z 的共同本征波函数：

$$\hat{L}^2 Y_{lm}(\theta, \varphi) = l(l+1)\hbar^2 Y_{lm}(\theta, \varphi)$$

$$\hat{L}_z Y_{lm}(\theta, \varphi) = m\hbar Y_{lm}(\theta, \varphi)$$

$$l = 0, 1, 2, \dots; m = -l, -l+1, \dots, 0, \dots, l-1, l$$

正交、归一化条件：

$$\int_0^{2\pi} d\varphi \int_0^\pi \sin\theta d\theta Y_{lm}^*(\theta, \varphi) Y_{l'm'}(\theta, \varphi) = \delta_{ll'} \delta_{mm'}$$

$$Y_{lm}(\theta, \varphi) = NP_l^m(\cos \theta)e^{im\varphi}$$

当 $l=0,1,2$ 时的球谐函数：

$$Y_{00} = \sqrt{\frac{1}{4\pi}}$$

$$Y_{20} = \sqrt{\frac{5}{15\pi}}(3\cos^2 \theta - 1)$$

$$Y_{10} = \sqrt{\frac{3}{4\pi}}\cos \theta$$

$$Y_{2\pm 1} = \mp \sqrt{\frac{15}{8\pi}}\sin \theta \cos \theta e^{\pm i\varphi}$$

$$Y_{1\pm 1} = \mp \sqrt{\frac{3}{8\pi}}\sin \theta e^{\pm i\varphi}$$

$$Y_{2\pm 2} = \sqrt{\frac{15}{32\pi}}\sin^2 \theta e^{\pm 2i\varphi}$$

2. 角动量的空间量子化 (space quantization)

角动量的大小为：

$$L = \sqrt{l(l+1)} \hbar, \quad l = 0, 1, 2, 3, \dots$$

由于 $L_z = m\hbar$, $m = 0, \pm 1, \pm 2, \dots, \pm l$

角动量 \vec{L} 在空间的取向只有 $(2l+1)$ 种可能性，

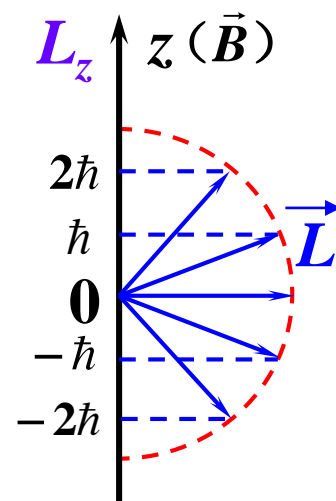
因而其空间的取向是量子化的。

例如： $l = 2$, $m = 0, \pm 1, \pm 2$

$$L = \sqrt{2(2+1)} \hbar = \sqrt{6} \hbar$$

$$L_z = 0, \pm \hbar, \pm 2\hbar$$

\vec{L} 只有五种可能的取向。



对 z 轴旋转对称

例28.1 求解 \hat{L}_z 的本征值问题。

解:

$$\hat{L}_z \Phi = L_z \Phi$$

$$-i\hbar \frac{\partial}{\partial \varphi} \Phi(\varphi) = L_z \Phi(\varphi)$$

$$\frac{d\Phi(\varphi)}{\Phi} = \frac{i}{\hbar} L_z d\varphi$$

通解为

$$\Phi(\varphi) = A e^{\frac{i}{\hbar} L_z \varphi}$$

下面用波函数所满足的条件，定特解。

$\Phi(\varphi)$ 应该单值:

$$e^{\frac{i}{\hbar}L_z\varphi} = e^{\frac{i}{\hbar}L_z(\varphi+2\pi)} = e^{\frac{i}{\hbar}L_z\varphi} \cdot e^{\frac{i}{\hbar}L_z \cdot 2\pi}$$

$$e^{\frac{i}{\hbar}L_z \cdot 2\pi} = 1 \quad \rightarrow \quad \frac{2\pi L_z}{\hbar} = m \cdot 2\pi$$

本征值: $L_z = m\hbar$, $m = 0, \pm 1, \pm 2, \dots$

归一化因子

本征波函数:

$$\Phi(\varphi) = Ae^{im\varphi} = \frac{1}{\sqrt{2\pi}} e^{im\varphi}$$

m 称为磁量子数

3. 氢原子的能级和本征波函数

$$\hat{L}^2 Y = \lambda Y$$

$$\left[\hbar^2 \frac{d}{dr} r^2 \frac{d}{dr} + 2\mu r^2 \left(E + \frac{e^2}{4\pi\epsilon_0 r} \right) \right] R = \lambda R$$

$$\hat{L}^2 Y_{lm}(\theta, \varphi) = l(l+1)\hbar^2 Y_{lm}(\theta, \varphi)$$

— \hat{L}^2 的本征方程，本征值 $\lambda = l(l+1)\hbar^2, l = 0, 1, 2, \dots$

$$\left[\frac{d}{dr} r^2 \frac{d}{dr} + \frac{2\mu r^2}{\hbar^2} \left(E + \frac{\mathbf{Z}e^2}{4\pi\epsilon_0 r} \right) - l(l+1) \right] R(r) = 0$$

— 径向方程，可解出能量本征值 E_n 和 $R_{nl}(r)$ 。

(1) 能级和本征波函数

能级:

$$E_n = -\frac{\mu Z^2 e^4}{2\hbar^2 (4\pi\epsilon_0)^2} \frac{1}{n^2}$$

$$E_n \approx -13.6 \frac{Z^2}{n^2} (\text{eV})$$
$$n = 1, 2, 3, \dots$$

与实验结果符合!

本征波函数:

$$\Psi_{nlm}(r, \theta, \varphi) = R_{nl}(r) \underline{Y_{lm}(\theta, \varphi)}$$

$$n = 1, 2, 3, \dots$$

$$l = 0, 1, 2, \dots, n-1$$

$$m = -l, -l+1, \dots, 0, \dots, l-1, l$$

球谐函数

n —主量子数

l —角量子数

m —磁量子数

当 $n=1,2,3$ 时的 R_{nl} :

$$R_{10} = \frac{2}{a^{3/2}} e^{-r/a} \quad R_{30} = \frac{2}{3\sqrt{3}a^{3/2}} \left(1 - \frac{2r}{3a} + \frac{2}{27} \left(\frac{r}{a} \right)^2 \right) e^{-r/3a}$$

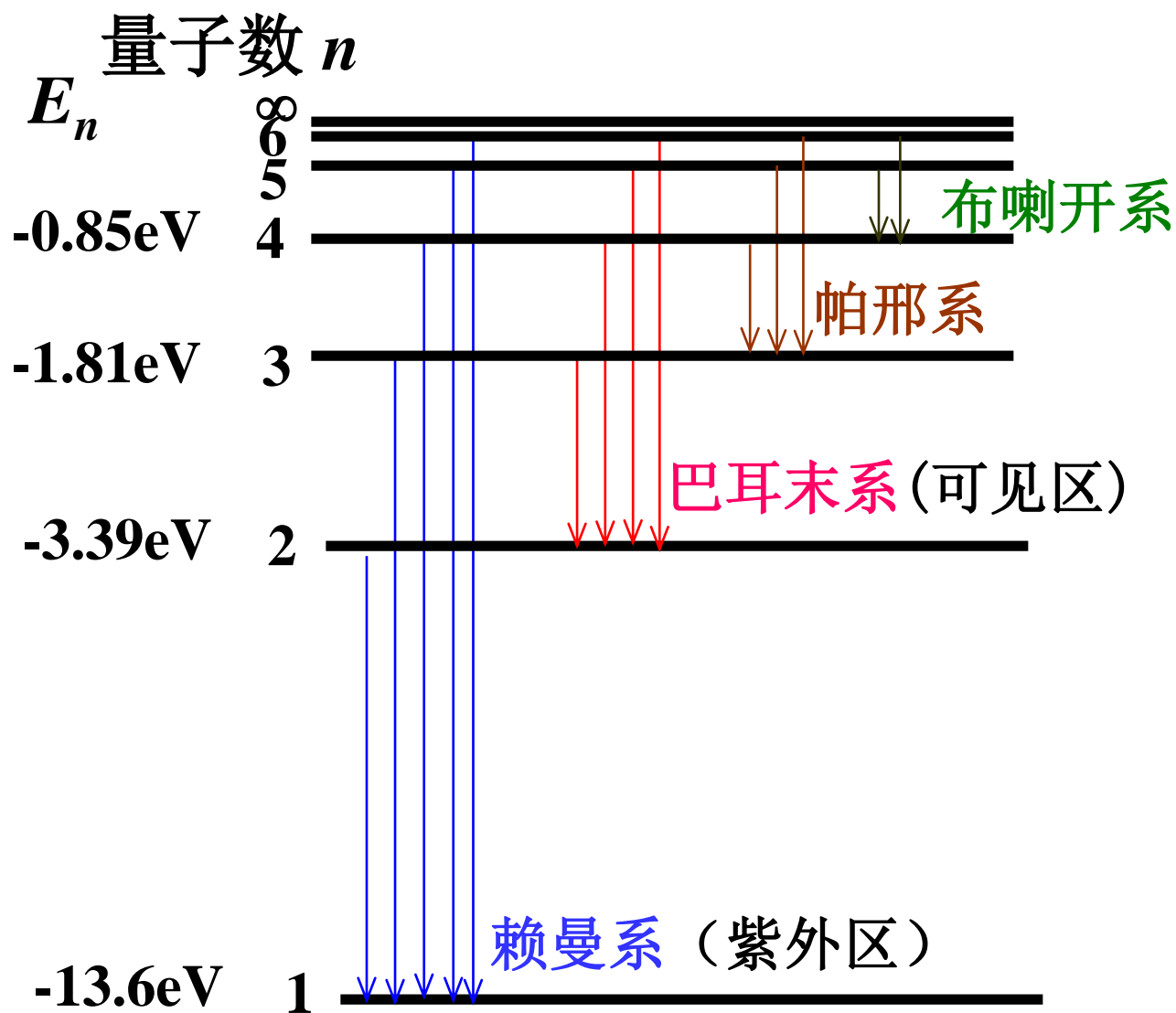
$$R_{20} = \frac{1}{\sqrt{2}a^{3/2}} \left(1 - \frac{r}{2a} \right) e^{-r/2a} \quad R_{31} = \frac{8}{27\sqrt{6}a^{3/2}} \left(1 - \frac{r}{6a} \right) e^{-r/3a}$$

$$R_{21} = \frac{1}{2\sqrt{6}a^{3/2}} \frac{r}{a} e^{-r/2a} \quad R_{32} = \frac{4}{81\sqrt{30}a^{3/2}} \left(\frac{r}{a} \right)^2 e^{-r/3a}$$

其中

$$a = \frac{4\pi\epsilon_0\hbar^2}{\mu e^2} \approx 0.0529\text{nm}$$

为玻尔半径。

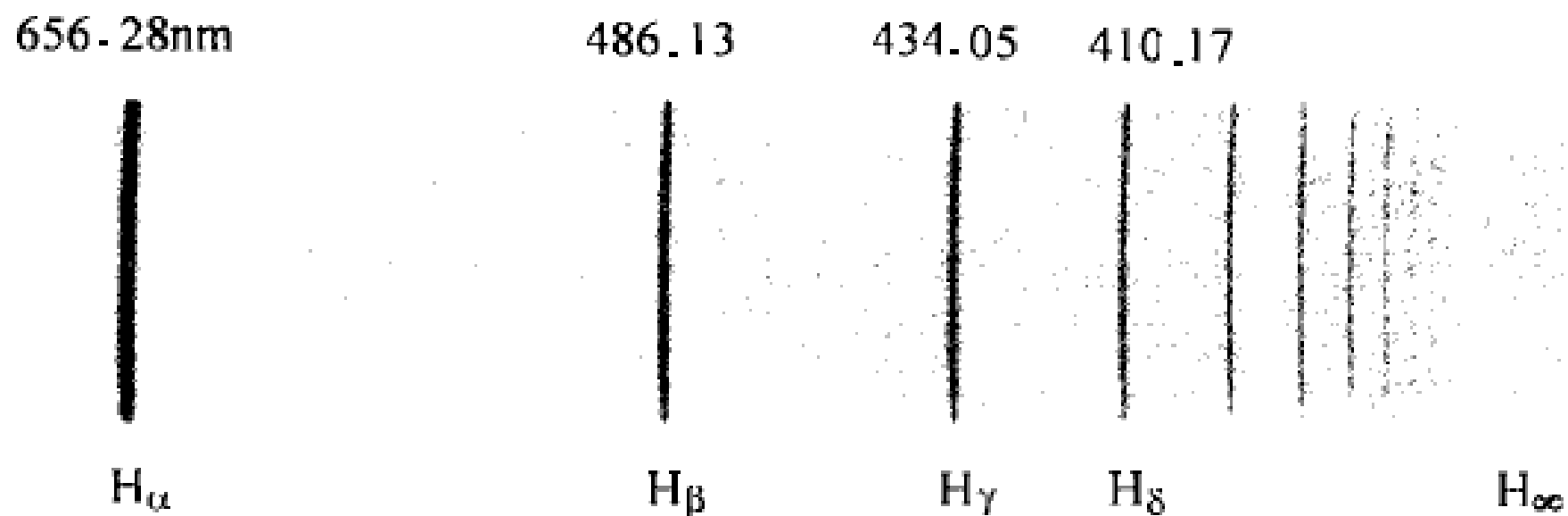


Z=1:

$$E_n = \frac{1}{n^2} E_1 = \frac{-13.6}{n^2} \text{eV}$$

由能级算出的光谱线频率 $\nu = (E_n - E_m)/h$ 和实验结果一致。

氢原子能级图



氢原子光谱巴耳末系前四条谱线的颜色和波长

谱线	H_{α}	H_{β}	H_{γ}	H_{δ}
颜色	红	深绿	青	紫
波长 / nm	656.279	486.133	434.046	410.173

1885 年,对于当时已经发现的氢原子光谱的谱线,瑞士一位中学教师巴尔末(J. J. Balmer) 凑出了一个波长的公式:

$$\lambda = B \frac{n^2}{n^2 - 4} \tag{1}$$

其中 B 是一个常数, $n = 3, 4, 5, 6, \dots$, 现在知道这个公式适用于氢原子光谱的巴尔末系。5 年后,里德伯(J. R. Rydberg)把巴尔末公式 (1)改写成波数的公式

$$\bar{\nu} = \frac{1}{\lambda} = R_H \left(\frac{1}{2^2} - \frac{1}{n^2} \right) \tag{2}$$

其中 $R_H = 4/B$ 现在称为氢原子的里德伯常数。18 年后的 1908 年,里兹(W. Ritz)进一步改写成

$$\bar{\nu} = R_H \left(\frac{1}{m^2} - \frac{1}{n^2} \right) \tag{3}$$

其中 $m = 1, 2, 3, \dots, n = m + 1, m + 2, m + 3, \dots$, 当 $m = 2$ 时给出巴尔末系, m 不等于 2 时应给出氢原子光谱的别的谱线系。现在把 (3) 式称为巴尔末-里德伯公式或里德伯-里兹公式,简称里德伯公式。

从(1)到(2)式只是简化,从(2)到(3)式就是推广。推广总是包含了对未知的预言。1908年在氢原子光谱的红外区发现了 $m = 3$ 的帕邢(Paschen)系,1914年在紫外区发现了 $m = 1$ 的莱曼(Lyman)系,1922年在红外区发现了 $m = 4$ 的布拉开(Brackett)系,1924年在红外区发现了 $m = 5$ 的普丰德(Pfund)系,1953年在红外区发现了 $m = 6$ 的汉福莱(Humphreys)系,这持续半个多世纪的进展和丰硕成果,出发点就是里德伯对巴尔末公式的重新表述和简化。

H 原子光谱系

线系	莱曼系 (T.Lyman)	巴耳末系 (J.J.Balmer)	帕邢系 (F.Paschen)	布拉开系 (F.Brackett)	普丰德系 (H.A.Pfund)	汉福莱系 (C.S.Humphreys)
光谱区域	紫外区	可见区	红外区	红外区	红外区	红外区
m	1	2	3	4	5	6
发现年份	1914	1885	1908	1922	1924	1953

这个简单而不起眼的重新表述和简化,还有更重要和深远的影响,它是玻尔理论的基础。1911年卢瑟福提出原子的有核模型后,1912年春天玻尔来到卢瑟福实验室,开始了他对原子结构的研究。当时他还不知道氢原子光谱的巴尔末-里德伯公式,也没有把原子结构问题与原子光谱联系起来。他的一位光谱学家朋友汉森告诉他巴尔末-里德伯公式,他才突然获得了灵感。玻尔后来回忆说:“我一看到巴尔末公式,整个事情对我就马上明朗了。”后来有人问玻尔,他怎么会不知道巴尔末-里德伯公式。他回答说,当时一般人都认为,像光谱这样复杂的现象,不会与基本物理有直接的关系。在事实上,巴尔末最初给出的波长公式看起来确实相当复杂,而汉森

给玻尔看的，则是已经改写成波数的公式。这就能体会为什么理论家偏爱波数或波矢量。普朗克相信：“物理定律越带普遍性，就越是简单”。看起来简单的简化，往往意味着一般化和普遍化，而物理规律的普遍性正是我们追求的一个主要目标。

(2) 电子的概率分布

电子出现在体积元 dV 中的概率为：

$$|\Psi_{nlm}(r, \theta, \varphi)|^2 dV = |\underline{R_{nl}(r)}|^2 |Y_{lm}(\theta, \varphi)|^2 \underline{r^2 dr} \sin\theta d\theta d\varphi$$

$$dV = r^2 dr \sin\theta d\theta d\varphi = r^2 dr d\Omega$$

$d\Omega = \sin\theta d\theta d\varphi$: (θ, φ) 方向立体角元

• 电子沿径向的概率密度为

$$W_{nl}(r) = |R_{nl}(r)|^2 r^2$$

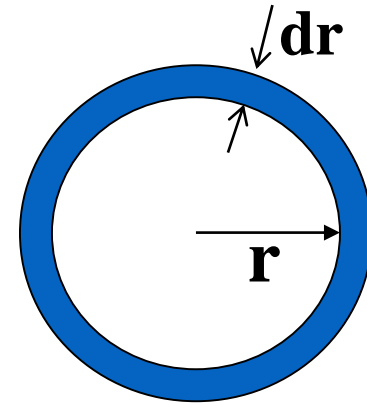
• 电子出现在 (θ, φ) 方向附近单位立体角元中的概率为

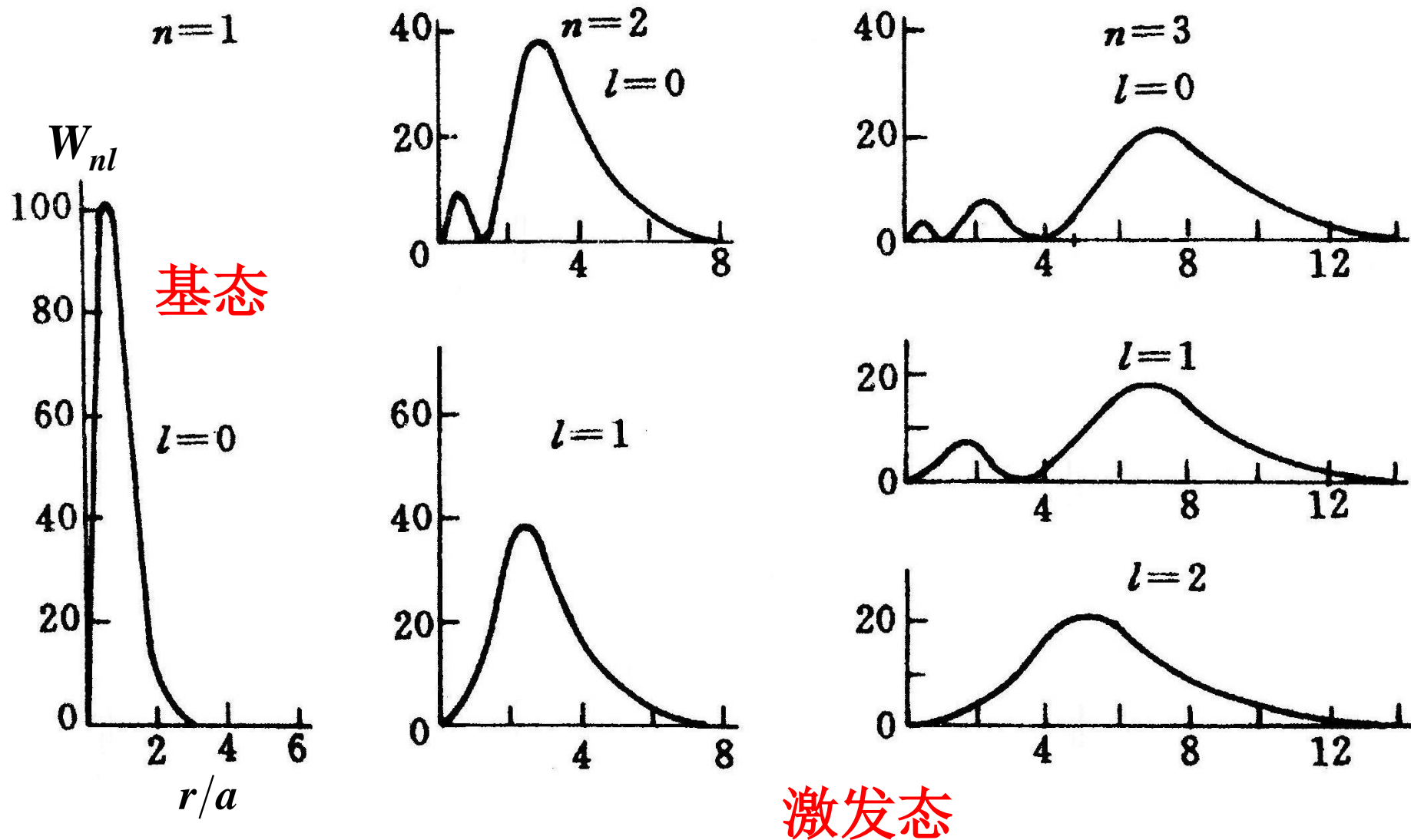
$$W_{lm}(\theta, \varphi) = |Y_{lm}(\theta, \varphi)|^2$$

电子的径向概率分布 ($r \sim r+dr$)

$$W_{nl}(r)dr = \left\{ \int_0^{4\pi} |Y_{lm}(\theta, \varphi)|^2 d\Omega \right\} |R_{nl}(r)|^2 r^2 dr$$
$$= |R_{nl}(r)|^2 r^2 dr$$

代表电子出现在 ($r \sim r+dr$)
的球壳层内的概率。

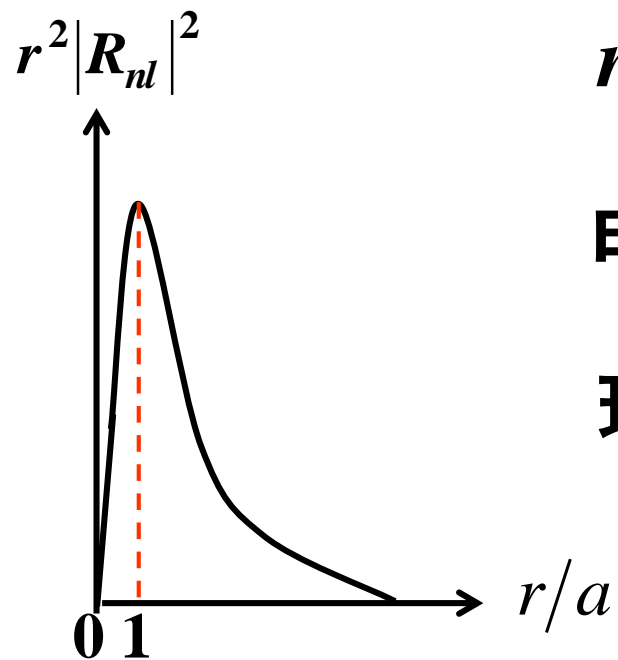




电子沿径向的概率密度 $W_{nl}(r)$

“只在此山中，云深不知处。” — 贾岛 《寻隐者不遇》

基态 (ground state) :

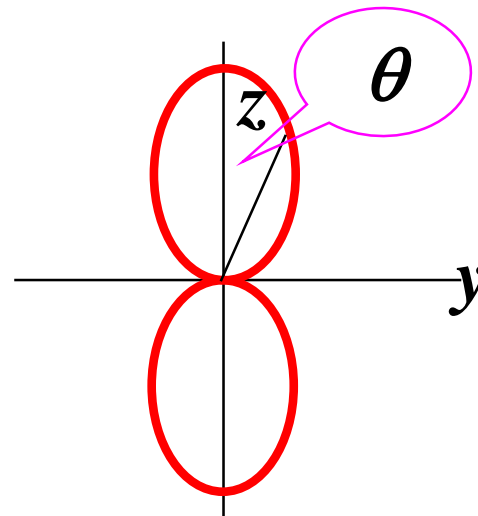


$$n=1, l=0$$

电子出现在 $r = a$ 的单位厚度
球壳层内的概率最大。

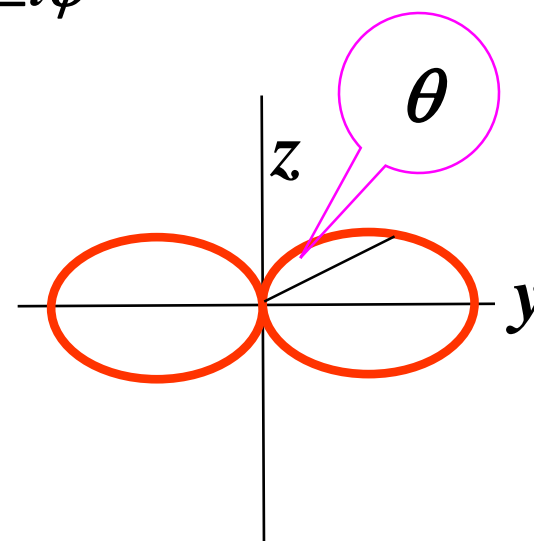
$$a = \frac{4\pi\epsilon_0\hbar^2}{\mu e^2} \approx 0.0529\text{nm} \text{ — 玻尔半径}$$

$$Y_{10}(\theta, \varphi) = \sqrt{\frac{3}{4\pi}} \cos \theta$$

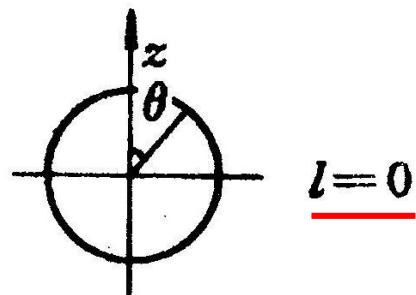


$$|Y_{10}(\theta, \varphi)|^2 = \frac{3}{4\pi} \cos^2 \theta$$

$$Y_{1\pm 1}(\theta, \varphi) = \mp \sqrt{\frac{3}{8\pi}} \sin \theta \cdot e^{\pm i\varphi}$$

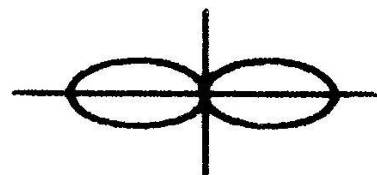


$$|Y_{1\pm 1}(\theta, \varphi)|^2 = \frac{3}{8\pi} \sin^2 \theta$$

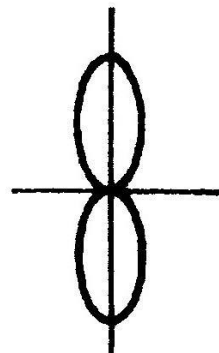


$$Y_{00}(\theta, \phi) = \frac{1}{\sqrt{4\pi}}$$

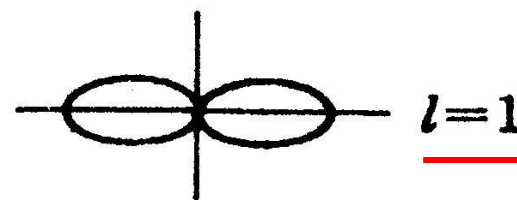
$$|Y_{00}(\theta, \phi)|^2 = \frac{1}{4\pi}$$



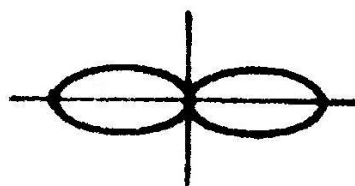
$$m_l = -1$$



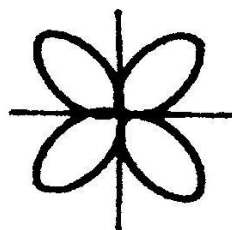
$$m_l = 0$$



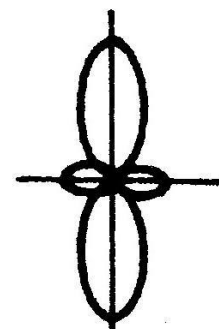
$$m_l = 1$$



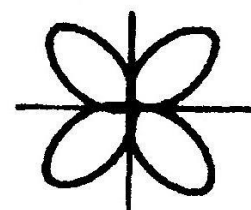
$$m_l = -2$$



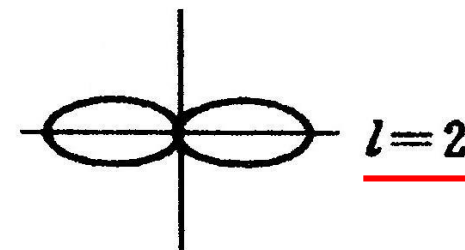
$$m_l = -1$$



$$m_l = 0$$

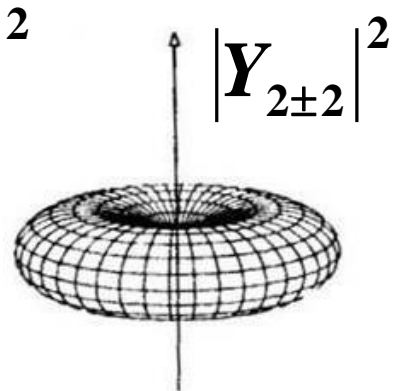
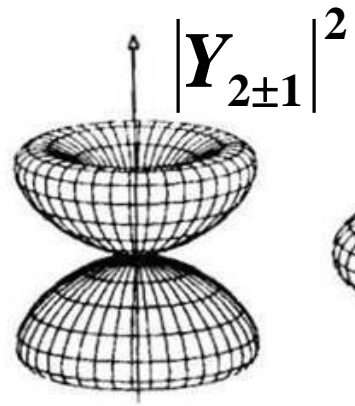
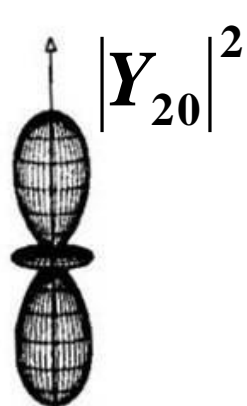
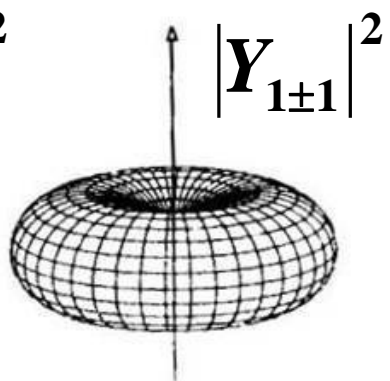
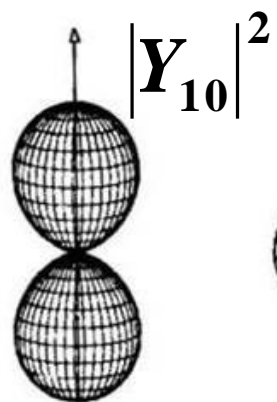
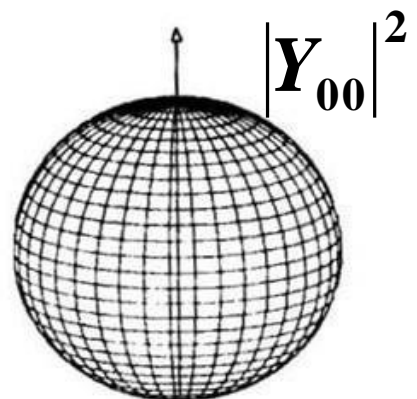


$$m_l = 1$$



$$m_l = 2$$

电子概率密度角分布 $W_{lm}(\theta, \phi)$



(3) 量子数小结

① 主量子数

$$n = 1, 2, 3, \dots$$

决定能量

$$E_n = -13.6 \frac{1}{n^2} \text{ eV}$$

② 轨道角量子数

$$l = 0, 1, 2, \dots, (n - 1), \text{ 决定角动量的大小}$$

\vec{L} 的大小

$$L = \sqrt{l(l+1)} \hbar$$

③ 轨道磁量子数

$$m = 0, \pm 1, \pm 2, \dots, \pm l, \text{ 决定 的空间取向;}$$

\vec{L} 的 z 分量

$$L_z = m\hbar$$

玻尔模型

	定性	定量	备注
轨道	×		测不准关系
$r_n = n^2 a$		×	$\left\langle \frac{1}{r} \right\rangle = \frac{1}{n^2 a_0}$ $\langle r \rangle_{nl} = \frac{1}{2} [3n^2 - l(l+1)] a_0$
E_n	✓	✓	$E_n = -\frac{\mu Z^2 e^4}{2\hbar^2 (4\pi\epsilon_0)^2} \frac{1}{n^2}$
L	✓	×	$L < n\hbar$

例28.2 用能量为12.5eV的电子去激发基态氢原子，问受激发的氢原子向低能级跃迁时，会出现哪些波长的光谱线？

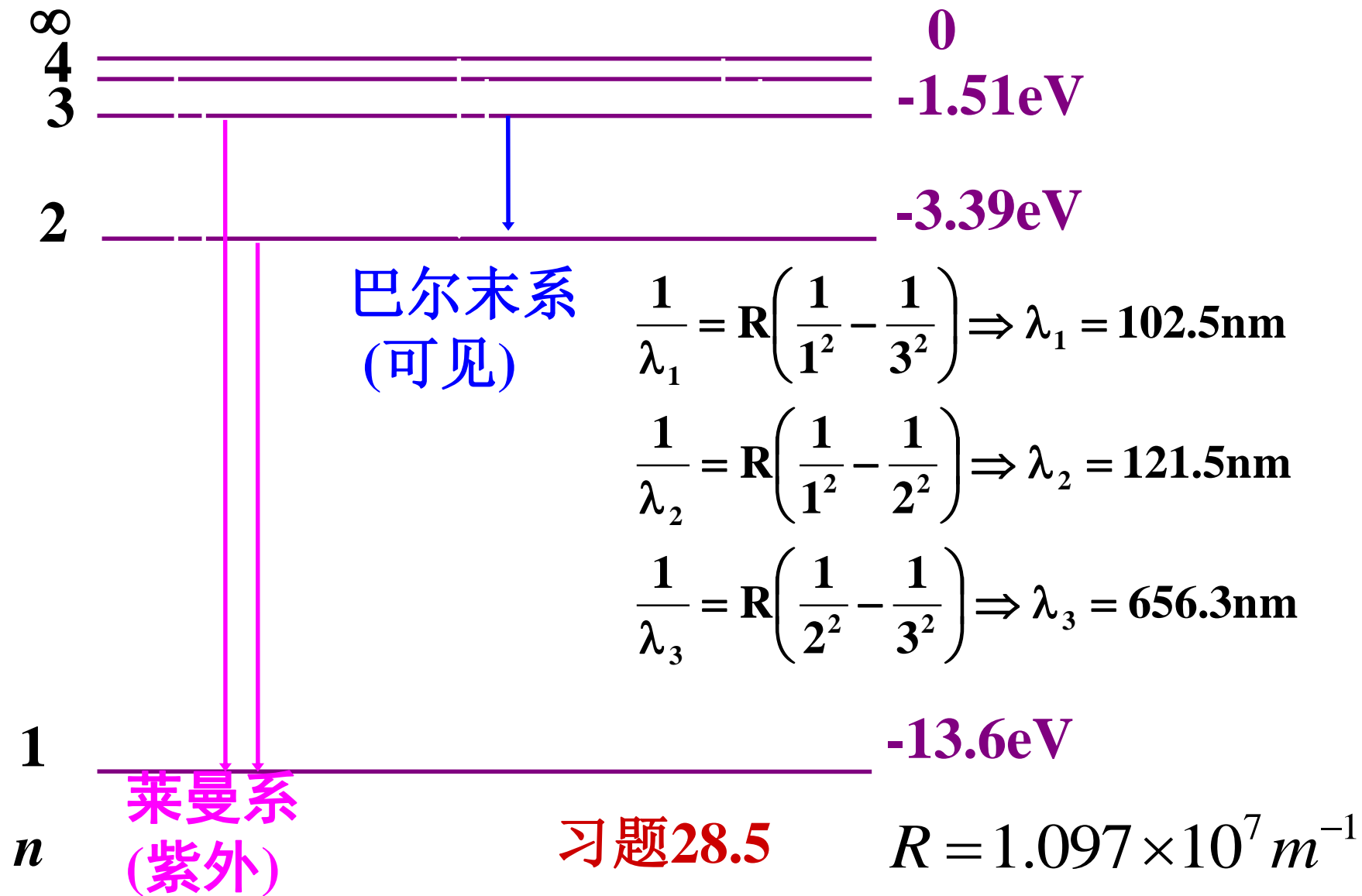
解： 假定 $E=12.5\text{eV}$ 的能量为氢原子吸收，氢原子被激发至

$$E_n = -\frac{13.6}{n^2} \text{ (eV) 能级, 则有}$$

$$E = 13.6 \left(\frac{1}{1^2} - \frac{1}{n^2} \right) \quad \Rightarrow n = 3.5$$

因为 n 只能取整数，故 $n=3$

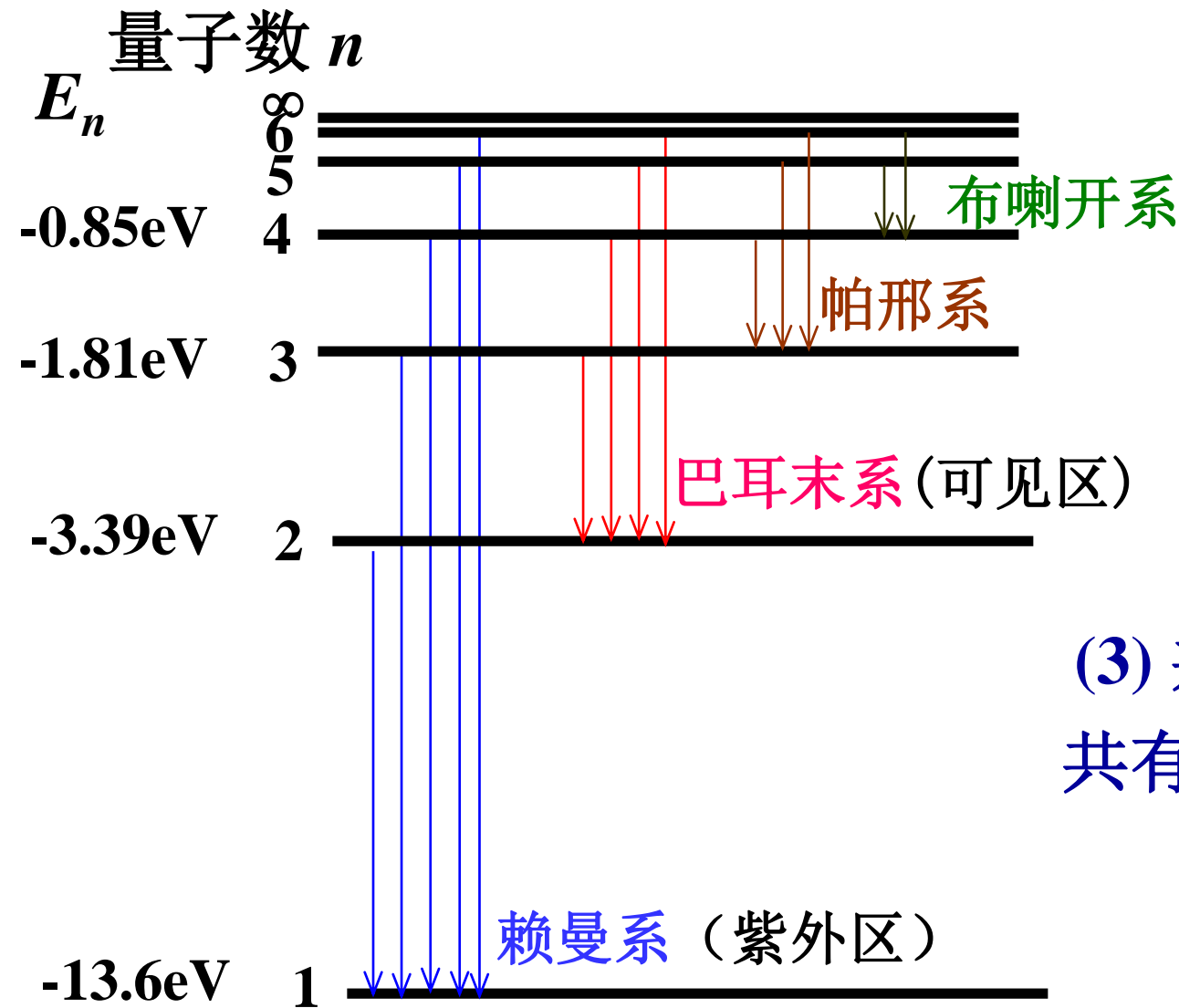
受激发的氢原子向低能级跃迁时，会出现下列3种波长的光谱线。



例28.3 氢原子光谱的巴尔末线系中,有一光谱线的波长为434nm, 试求 (1)与这一谱线相应的光子能量为多少电子伏特? (2) 该谱线是氢原子由能级跃迁 E_n 到能级 E_k 产生的, n 和 k 各为多少? (3) 最高能级为 E_n 的大量氢原子最多可以发射几个线系, 共几条谱线?

解: (1)
$$E = h\nu = h \frac{c}{\lambda} = 2.86 \text{ eV}$$

(2) 根据能级图可知,



$$-\frac{13.6}{n^2} - \left(-\frac{13.6}{2^2} \right) = 2.86$$

$$n = 5$$

(3) 共发射4个线系,
共有10条谱线。

氢原子能级图

例28.4 The first excited energy of positronium is most nearly equal to

A. - 6.8 eV

B. - 3.4 eV

C. - 1.7 eV

B. D. - 0.85 eV

E. 3.4 eV

[解]
$$E_n = -\frac{\mu Z^2 e^4}{2\hbar^2 (4\pi\epsilon_0)^2} \frac{1}{n^2} \quad E_1 = -13.6 \text{ eV}$$

$$\mu = \frac{m_e}{2} \quad E'_1 = \frac{E_1}{2} = -6.8 \text{ eV}$$

$$E'_2 = \frac{E'_1}{4} = -1.7 \text{ eV}$$

选C。

例28.5 设氢原子处于

$$\psi(r, \theta, \varphi) = \frac{1}{2} R_{21}(r) Y_{10}(\theta, \varphi) - \frac{\sqrt{3}}{2} R_{21}(r) Y_{1,-1}(\theta, \varphi)$$

的状态中，求氢原子的能量 E 、角动量平方 L^2 和投影 L_z 的可能值，以及取这些可能值的概率，并求这些力学量的平均值。

解： 处在该状态中的氢原子的能量和角动量平方都是确定的，

$$E_2 = -\frac{13.6}{2^2} eV = -3.4 eV$$

$$L^2 = l(l+1)\hbar^2 = 2\hbar^2$$

$$\psi(r, \theta, \varphi) = \frac{1}{2} R_{21}(r) Y_{10}(\theta, \varphi) - \frac{\sqrt{3}}{2} R_{21}(r) Y_{1,-1}(\theta, \varphi)$$

L_z 可以取**0**,

两个可能值, 取这两个可能值的**概率**分别为**1/4**和**3/4**, L_z 的**平均值**为

$$\bar{L}_z = \frac{1}{4} \times 0 + \frac{3}{4} \times (-\hbar) = -\frac{3}{4} \hbar$$

28a结束